

(株) 総合技術コンサルタント 正員。西森孝三
 関西電力(株) 総合技術研究所 藤征雄
 同上 阿部守

1. はじめに 土岐⁽¹⁾、神山⁽²⁾によれば、表面波による地表面近くの地盤ひずみは、SH波による最大ひずみと同程度又はそれ以上になる場合があり、地表面近くに限れば、表面波によるひずみが支配的であると報告されている。大型円筒地下タンクは、その底盤は比較的良い地盤に支持され、その周辺は軟弱地盤と考えられる。側壁の剛性は、底板近くに比して地表面近くで相対的に小さく、より地盤の変形に支配される。

ここでは、地盤を2層に理想化し、表面波のうち、Love波に注目し、浜田⁽³⁾の方法を参考にし、地下タンクの応答解析を行なった例を報告するものである。

2. 解析条件 図1に示すRC製の4万t貯油タンクが、洪積地盤($V_s = 300 \sim 700 = 500\%$)に支持され、その周辺を軟弱地盤($V_s = 100 \sim 300 = 200\%$)に囲まれた状態を想定する。解析方法としては、シェル要素を用いたFEMにより、地盤変位をバネを介して強制変位としてタンクに与えることにより、タンクの変形と応力を算定する方法とする。「お側壁と底板とは剛結合とする。

2-1. 入力地盤変位 図2に示す座標系を考えると、Love波の波动方程式は式(1)、解は式(2)となる。

$$\frac{1}{V_s^2} \cdot \frac{\partial^2 U}{\partial t^2} = \frac{\partial^2 U}{\partial x^2} + \frac{\partial^2 U}{\partial z^2} \quad (1)$$

$$U = W(z) \cdot \exp i(kx - \omega t) \quad (2)$$

ここに、 U : y 方向変位、 V_s : せん断波速度、

$k = \omega_L/V_L$ 、 V_L 、 ω_L : Love波の位相速度と円振動数、 $W(z)$: z の任意関数、 t : 時間、 i : 虚数。

ひずみ及び応力と変位との関係は、図3を参照して、

$$\gamma_{yz} = \partial U / \partial z, \quad \tau_{yz} = G \gamma_{yz} \quad (3)$$

$$\gamma_{xy} = \partial U / \partial x, \quad \tau_{xy} = G \gamma_{xy} \quad (4)$$

ここに、 G : せん断定数

となる。式(2)と式(1)とから式(5)を得、 $z = H_1, z = -\infty$

$$\frac{\partial W}{\partial z^2} - \left(\frac{V_L^2}{V_s^2} - 1 \right) R^2 W = 0 \quad (5)$$

で、 $\tau_{yz} = 0$ 、 $\gamma_{xy} = 0$ での応力と変位の連続条件から、表層、基盤に対して式(6)、(7)を得、分散性を示す式(8)をそれぞれ得る。

$$W(z) = A \cos \sqrt{\alpha} \cdot k(z - H_1) \quad (6)$$

$$W_0(z) = A \cos (\sqrt{\alpha} \cdot k \cdot H_1) \cdot \exp (\sqrt{\beta} \cdot k \cdot z) \quad (7)$$

$$\tan (\sqrt{\alpha} \cdot k \cdot H_1) = \frac{G_0}{G_1} \frac{\sqrt{\beta}}{\sqrt{\alpha}} \quad (8)$$

ここに、 A : 任意の係数、 $\alpha = V_L^2/V_{s1}^2 - 1$ 、
 $\beta = 1 - V_L^2/V_{s0}^2$

Love波の分散性の基本モードを想定地盤について示すと図4のようになる。又、せん断ひずみ(γ_{xy})と変位の振幅は式(6)、(7)より地表面で最大となり、係数 A は γ_{xy} と k とから定まる。今Love波の周期と表層のそれと同じと仮定すると、 $T = 4H_1/V_{s1} = 0.44$ 秒となり、位相速度は図4より 350 cm/s となる。 $k = \omega_L/V_L = 2\pi/L_L$ の関係より波長(L_L)は 154 m となる。最大せん断ひずみ(γ_{xy})は $2 \sim 4 \times 10^{-3}$ 程度であり、ここでは 10^{-3} と仮定して、 $t = 1$ のある時刻に図5のような状態を考えると $A = 2.45\text{ cm}$ となる。このことから図5の状態を入力地盤変位と仮定する。

2-2. 地盤バネ定数 ここで想定地盤では、道示ケーリン基礎編では、 $K_H = 2.5\text{ kN/cm}$ 、国鉄耐震設計指針では $K_H = 3.9\text{ kN/cm}$ となるため、半径方向地盤反力係数(K_r)として平均を採り $K_r = 3.2\text{ kN/m}$ とし、接線方向バネ(K_θ)は、 $K_\theta = 1/2 K_r$ と仮定する。

3. 解析結果および考察 变形状態は図6に示すように横円形となり側壁天端で最大 1.8 cm 、底板付近では変形が小さく円形に近づく。この結果から、底板が変形を大きく拘束している様子がうかがわれる。図7~9に発生応力を示す。円周方向応力は側壁天端付近で最大 $\pm 19\text{ kN/m}$ 、また側壁上部では応力の変化が小さく、円管モデルの可能性を示唆している。鉛直方向応力は側壁中部から下部にかけて大きく最大 $\pm 15\text{ kN/m}$ である。そして底板近くで応力の方向が覆り、剛結の影響が現われている。せん断応力は底板近くで最大となり 28 kN/m 生じている点が注

目に値する。

以上の点を勘案すると、構造上底板と側壁にピン結合を採用した場合、その部分に間隙の生ずることは極力避けねばならない。これに対する対策を考慮したとしても、耐震上の観点から丁剛結の方が望ましいと言えよう。しかし底板近くに生ずる28%のせん断力はRC構造に対して配慮する必要があり、これに抵抗する鉄筋の配置等が重要なとなる。これらについては今後

充分に検討する必要があると考えられる。

4. あとがき 本解析では多くの仮定の上で計算を行なっている。地盤条件として平均的な剛性を採ったため、結果的にかなり良い地盤を想定したことになった。地盤が不定数に固しても、強震時にはそのひずみ依存性等のため評価が難しい。又、表面波に関しては今なお不明な点が多く、実施設計に結びつけるためには、今後さらに検討する必要がある。

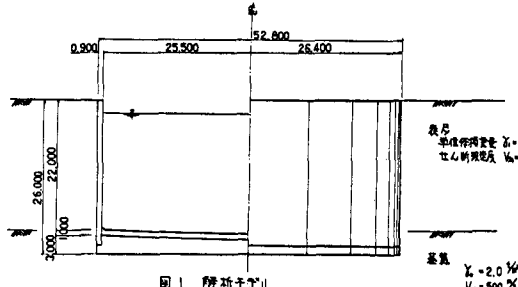


図1 解析モデル

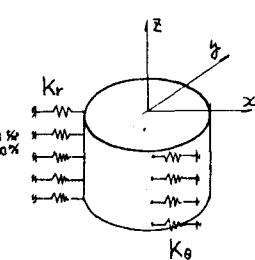


図2 座標系

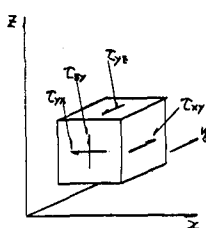


図3 Love波によつて生ずる応力

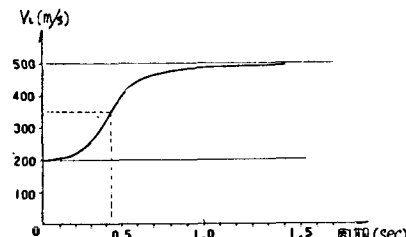


図4 Love波の分散性

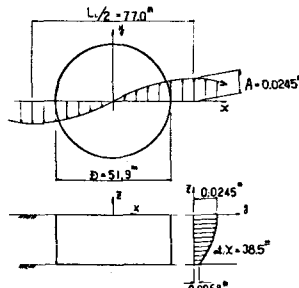
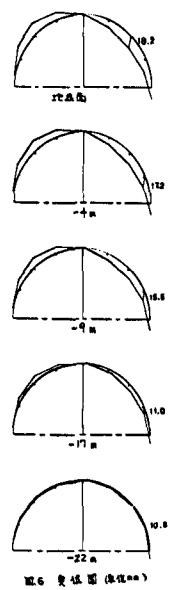


図5 入力地盤変位



参考文献

1) Toki, K:
Proc. U. S. Japan Seminar on Lifeline System, 1976

2) 神山真：
地震における地盤内の応力、ひずみの評価。
工学会論文報告集 250号、1976年

3) 濱田政則：
大型地下タンクの地震時挙動の観測と解析。
土木学会論文報告集 273号、1978年

